

长期施肥对塿土 *nirS* 型反硝化细菌的影响及其与 N_2O 排放的关系

刘耕苑¹, 肖杰¹, 高明霞², 孙本华^{1,4}, 张树兰¹, 杨学云¹, 冯浩^{2,3,4}, 张彤勋¹

(1.西北农林科技大学 资源环境学院/农业部西北植物营养与农业环境重点实验室,

陕西 杨凌 712100; 2.西北农林科技大学 水利与建筑工程学院, 陕西 杨凌 712100;

3.西北农林科技大学 水土保持研究所, 陕西 杨凌 712100; 4.中国旱区节水农业研究院, 陕西 杨凌 712100)

摘要:土壤反硝化作用是土壤 N_2O 产生的重要过程,亚硝酸盐还原酶(NIR)催化的亚硝态氮(NO_2^-)还原为一氧化氮(NO)是反硝化作用的关键环节,研究长期施肥对反硝化微生物的影响及其与 N_2O 排放的关系对于全面理解土壤反硝化过程具有重要意义。基于 28 年的旱作雨养长期施肥试验,通过常规监测、定量 PCR 和高通量测序等探讨了长期不同施肥(不施肥 CK、偏施肥的单施氮肥 N 和氮钾配施 NK、以及氮磷钾平衡施肥 NPK)下塿土 N_2O 排放和 *nirS* 反硝化细菌群落特征及两者之间的关系。结果表明:长期化肥施用(N,NK 和 NPK)均显著提高了 N_2O 累积排放量,其中平衡施肥(NPK)最高。长期化肥施用对 *nirS* 基因丰度和 *nirS* 型反硝化细菌的 α -多样性无显著影响,但长期平衡施用化肥提高了 *uncultured_bacterium_2303* 和 *Rhodanobacter_sp._D206a* 的相对丰度,降低了 *unclassified_k_norank_d_Bacteria* 和 *unclassified_p_Proteobacteria* 的相对丰度,从而改变了 *nirS* 型反硝化细菌的群落结构组成。雨养旱作条件下,土壤有机碳(SOC)、全氮(TN)、有效磷(AP)和 pH 等土壤性质是塿土 *nirS* 型反硝化细菌群落结构组成变化的主要影响因素。塿土 *nirS* 型反硝化细菌群落结构组成对土壤 N_2O 排放具有显著影响,而 *nirS* 基因丰度和 *nirS* 型反硝化细菌多样性并没有显著影响。

关键词:长期施肥; *nirS* 型反硝化细菌; 氧化亚氮; 实时定量 PCR; 高通量测序

中图分类号:X144; X172

文献标识码:A

文章编号:1005-3409(2022)02-0099-07

Effect of Long-Term Fertilization on *nirS*-Type Denitrifer and Its Relationship with N_2O Emission in Eum-Orthic Anthrosols

LIU Gengyuan¹, XIAO Jie¹, GAO Mingxia², SUN Benhua^{1,4}, ZHANG Shulan¹,

YANG Xueyun¹, FENG Hao^{2,3,4}, ZHANG Tongxun¹

(1.College of Natural Resources and Environment, Northwest A&F University/Key Laboratory of Plant Nutrition and Agro-Environment, Ministry of Agriculture, Yangling, Shaanxi 712100, China; 2.College of Water Resources and Architectural Engineering, Northwest A&F University, Yangling, Shaanxi 712100, China; 3.Institute of Soil and Water Conservation, Northwest A&F University, Yangling, Shaanxi 712100, China; 4.Institute of Water Saving Agriculture in Arid Region of China, Yangling, Shaanxi 712100, China)

Abstract: Soil denitrification is an important process for the production of soil N_2O , and that Nitrite reductase (NIR) catalyzes the reduction of nitrite nitrogen (NO_2^-) to nitric oxide (NO) is the key step of denitrification. The study on the impact of long-term fertilization on denitrifying microorganisms and its relationship with soil N_2O emissions is of great significance for a comprehensive understanding of the soil denitrification process. Based on 28 years of long-term fertilization experiments in rain-fed dry farming system, the characteristics of soil *nirS*-type denitrifying bacterial communities and N_2O emission and their relationship were investigated under different types of long-term fertilization (No fertilization of CK, only N fertilization and NK combined fertilization of partial fertilizations, and balanced fertilization of NPK) by conventional monito-

收稿日期:2021-02-04

修回日期:2021-03-30

资助项目:国家高技术研究发展计划(2013AA102904);陕西省自然科学基金研究计划项目(2018JM4007);高等学校学科创新引智计划资助(B12007)

第一作者:刘耕苑(1995—),男,山西临汾人,硕士研究生,研究方向为土壤化学和土壤生态。E-mail:lgyhao0@163.com

通信作者:孙本华(1972—),男,江苏淮安人,教授,主要从事土壤化学和土壤生态研究。E-mail:sunbenhua@nwafu.edu.cn

ring, quantitative PCR and high-throughput sequencing. The results showed that all types of long-term fertilization (N, NK and NPK) significantly increased the cumulative N_2O emission (EN_2O), in which balanced fertilization (NPK) caused the the highest cumulative N_2O emission; long-term fertilization had no significant effect on *nirS* gene abundance and the α -diversity of *nirS*-type denitrifying bacteria, while long-term balanced fertilization increased the relative abundance of *uncultured_bacterium_2303* and *Rhodanobacter_sp._D206a*, and reduced the relative abundance of *unclassified_k_norank_d_Bacteria* and *unclassified_p_Proteobacteria*, thereby changed the community structure of *nirS*-type denitrifying bacteria. Soil properties such as soil organic carbon, total nitrogen, available phosphorus and pH are the main factors influencing the *nirS*-type denitrifying bacterial community structure that has a significant effect on soil N_2O emission, while the abundance of *nirS* gene abundance and the diversity of *nirS*-type denitrifying bacteria have no significant effects in Eum-Orthic Anthrosols under rain-fed dry farming system.

Keywords: long-term fertilization; *nirS*-type denitrifier; nitrous oxide; quantitative real-time PCR; high-throughput sequencing

氧化亚氮(N_2O)是导致气候变化最重要的温室气体之一,其全球变暖潜力是 CO_2 的 298 倍,在大气中滞留时间长,而且还会导致臭氧层损耗^[1]。自工业革命以来,全球大气中的 N_2O 浓度增长了约 16%,其主要原因是人类活动干扰了自然氮循环^[2]。许多研究表明,土壤 N_2O 主要来自土壤反硝化作用^[1,3]。土壤反硝化作用主要由反硝化微生物参与,其中亚硝态氮(NO_2^-)还原为一氧化氮(NO)是反硝化作用的关键环节,由亚硝酸盐还原酶(NIR)来催化^[4]。编码 NIR 的基因(主要为 *nirK* 和 *nirS*)经常被用作分析反硝化菌群落功能的标记物^[5],其中,*nirS* 在系统发育分析应用更为广泛^[6]。通过 *nirS* 反硝化功能基因的定量分析(qPCR)和高通量测序分析可以评估全面衡量 *nirS* 基因丰度、*nirS* 型反硝化细菌的 α -多样性以及群落结构组成^[7]。

不同生态系统中, N_2O 排放与土壤性质和 *nirS* 反硝化细菌之间的关系已有不少报道^[8-9]。土壤性质会影响 N_2O 排放^[10], N_2O 排放量与土壤有机碳和土壤硝态氮含量正相关,与土壤 pH 负相关^[5,11-12]。有研究表明, N_2O 排放量与 *nirS* 反硝化细菌丰度和群落结构无关^[7];但也有研究发现, N_2O 排放量与 *nirS* 基因丰度密切相关^[13]。这些不同可能主要是由于土壤类型和性质以及施肥方式不同造成的,研究和明确不同土壤类型和土壤性质下 *nirS* 反硝化细菌丰度、多样性和群落结构特征及其与 N_2O 排放之间的关系,对于全面理解土壤反硝化过程具有重要意义。

全球 60% 的 N_2O 排放量来自于农业土壤^[14],其中施肥是影响土壤 N_2O 排放的关键因素。许多研究表明,长期不同施肥方式可引起土壤性质的改变并导致 *nirS* 细菌丰度、多样性和群落结构产生显著差异^[15-16]。瘠土是人为长期土粪堆垫而形成的典型土

壤,是关中地区主要土壤类型^[17],长期施肥对土壤理化性质产生了巨大影响^[18],并且对农田 N_2O 的排放产生影响^[19],但其 N_2O 排放产生差异的原因和微生物机制尚不明确。本研究以 20 世纪 90 年代初建立的旱作雨养农田长期施肥定位试验为基础^[19],通过分析长期不同施肥对旱作雨养农田土壤理化性质、 N_2O 排放和 *nirS* 型反硝化细菌丰度和群落结构的影响及其相互关系,以期对旱作雨养农田制定合理的肥料管理措施来减缓农田 N_2O 排放提供理论和实践依据^[20]。

1 材料与方法

1.1 试验地点和基本情况

长期肥料定位试验位于中国陕西杨凌农业高新技术产业示范区(北纬 $34^{\circ}17'$ 、东经 $108^{\circ}00'$)的“国家黄土肥力和肥料效益监测基地”内。气候类型为暖温带大陆性季风气候,年平均气温为 $12.9^{\circ}C$,年平均降水量为 $550\sim 600\text{ mm}$,主要集中在 7—9 月,蒸发量为 993 mm ,无霜期 $184\sim 216\text{ d}$,没有明显的年变化。土壤类型为瘠土(土垫旱耕人为土),黄土母质^[21]。

1.2 试验设计

长期试验始于 1990 年秋,种植体系为冬小麦—夏休闲。长期肥料试验共 7 个处理,本研究选取其中不施肥(CK)、单施氮肥(N)、施氮钾肥(NK)和施氮磷钾肥(NPK)共 4 个处理,小区面积为 399 m^2 ($19\text{ m}\times 21\text{ m}$)^[21]。氮肥用量为 135 kg/hm^2 ,磷肥用量为 108 kg/hm^2 ,钾肥用量为 67.5 kg/hm^2 。氮、磷和钾肥分别采用尿素、过磷酸钙和硫酸钾。所有肥料均在小麦播前一次性全部施入。

1.3 气体样品采集和测定

气体样品采用静态箱法采集,每个处理随机设置 3 个静态箱底座,于 2017 年 6 月至 2018 年 6 月,每

隔 7 d 采集气体样品一次,采用气相色谱法测定 N_2O 浓度,并计算获得年度 N_2O 排放量^[19]。

1.4 土壤样品采集

2018 年 6 月小麦收获后采集 0—20 cm 耕层混合土样,每静态箱附近随机采集 9 个点组成一个混合样品,样品装入塑封袋并置于冰盒中运回实验室。新鲜样品剔除动植物残体,过 2 mm 筛后分成三部分^[21]。一部分样品风干并保存于室温下用于土壤理化性质分析;一部分保存在 $<5^{\circ}C$ 冰箱冷藏并于一周内测定土壤硝态氮;一部分土壤样品保存在 $-80^{\circ}C$ 超低温冰箱里用于土壤 *nirS* 基因丰度、*nirS* 型反硝化细菌的多样性和群落结构的测定。

1.5 土壤理化性质测定

土壤基本理化性质的测定方法参照土壤农化分析^[22]。土壤 pH 测定采用电极法(水:土=1:1);土壤有机碳采用重铬酸钾容量法;全氮采用硫酸消煮-凯氏定氮法;土壤硝态氮采用 KCl 浸提-流动注射分析仪测定;土壤有效磷采用 $NaHCO_3$ 浸提-分光光度法;土壤速效钾采用 NH_4OAC 浸提-原子吸收光谱法。

1.6 土壤 DNA 的提取、qPCR 和高通量测序

称取相当于 0.5 g 干土的鲜土,使用 E.Z.N.A.© soil 分离试剂盒(Omega Bio-tek, Norcross, GA, U.S.)进行土壤 DNA 的提取,使用百分之一的琼脂糖凝胶电泳检测^[23]。使用 *nirS*-cd3aF(5'-GTSAACGTSAAGGARAC-SGG-3')和 *nirS*-R3cd(5'-GASTTCGGRTGSGTCTTGA-3')引物通过 ABI GeneAmp © 9700 型 PCR 仪进行扩增^[24-25]。*nirS* 基因丰度利用 QuantiFluor™-ST (Promega, USA)进行检测定量^[26]。利用 Illumina 公司的 MiseqPE300 平台进行测序^[23]。共获得了 118,932 条有效序列,在 97% 相似度下聚类得到 864 个 OTU。所有处理覆盖率均为 99%,说明样品被检出的概率很高。

1.7 数据分析和统计

使用 QIIME 管道分析原始的焦磷酸测序读数,以去除低质量的读数,并从序列读数中去除接头,条形码和引物。对每个样品分别进行反硝化细菌序列的分类学分类(OTU)。使用 UPARSE 软件(version 7.1, <http://drive5.com/uparse/>),根据 97% 的相

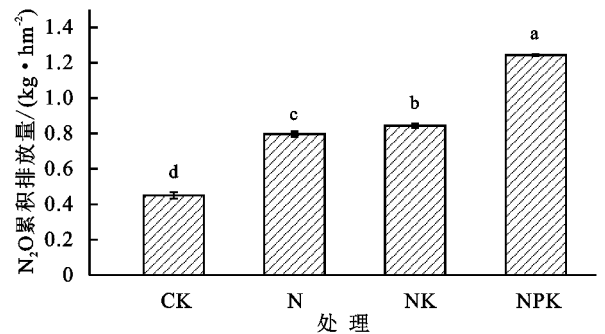
似度下进行 OTU 聚类^[23]。使用 RDP classifier(<http://rdp.cme.msu.edu/>)注释每个 OTU 的代表性序列。比对 Silva(Release115, <http://www.arb-silva.de>)数据库,设置比对阈值为 70%^[27]。

利用美吉的 I-Sanger 生信云平台(<https://www.i-sanger.com/>)进行 α -多样分析(包括 Shannon, Chao1 和 OTUs 等指数)、Heatmap 分析和冗余分析^[23]。使用 SPSS 21 软件进行单因素方差分析(LSD 法, $p < 0.05$)和 Pearson 相关性分析。使用 Origin Pro 9.0 软件进行作图。图表中数据为 3 个重复的平均值 \pm 标准差。

2 结果与分析

2.1 长期施肥对土壤 N_2O 累积排放量和土壤性质的影响

长期施肥显著改变了土壤 N_2O 累积排放量(图 1)。所有施肥处理(N, NK 和 NPK)的 N_2O 累积排放量(EN_2O)均显著高于不施肥处理(CK),并且不同施肥处理间存在显著差异,其大小顺序为 $NPK > NK > N$ 。长期不同施肥方式下土壤性质产生了显著差异(表 1)。与 CK 处理相比, NK 处理和 NPK 处理显著降低了土壤 pH,以 NPK 处理为最低($pH = 8.2$)。所有施肥处理均显著提高了 SOC 和 TN 含量,其中 NPK 处理提高最大,分别提高了 31.50% 和 21.35%。所有施肥处理均显著提高了土壤 NO_3^- -N 含量,增幅达 3.3~3.6 倍,但施肥处理间无显著差异。施磷处理(NPK)显著提高了土壤 AP 含量,施钾处理(NK 和 NPK)显著提高了土壤速效钾(AK)含量。



注:不同字母表示 5% 水平上差异显著($p < 0.05$)。

图 1 不同施肥处理土壤 N_2O 累积排放量

表 1 不同施肥处理土壤性质

处理	pH	土壤有机碳/ ($g \cdot kg^{-1}$)	全氮/ ($g \cdot kg^{-1}$)	硝态氮/ ($mg \cdot kg^{-1}$)	有效磷/ ($mg \cdot kg^{-1}$)	速效钾/ ($mg \cdot kg^{-1}$)
CK	8.32a	7.84d	0.89c	1.99b	3.6b	197b
N	8.31ab	8.38c	0.98b	8.75a	3.1b	197b
NK	8.29b	8.76b	1.03ab	8.58a	4.0b	345a
NPK	8.20c	10.31a	1.08a	9.11a	26.6a	306a

注:同列数值后不同小写字母表示处理间差异显著($p < 0.05$)。下表同。

2.2 长期施肥对土壤 *nirS* 基因丰度、*nirS* 型反硝化细菌的 α -多样性和群落结构的影响

每克干土的 *nirS* 基因丰度为 $7.28 \times 10^6 \sim 11.79 \times 10^6$ 个。与 CK 相比,所有施肥处理的 *nirS* 基因丰度无显著变化。所有施肥处理的 *nirS* 型反硝化细菌群落的

表 2 不同施肥处理土壤的 *nirS* 基因丰度和细菌 α -多样性

处理	<i>nirS</i> 基因丰度/ ($\times 10^6$ copies \cdot g $^{-1}$)	Shannon 指数	Chao1 指数	OUTs	物种数
CK	7.28 \pm 1.99a	4.12 \pm 0.19ab	428.9 \pm 14.3b	352 \pm 13b	16 \pm 1a
N	11.49 \pm 4.16a	4.09 \pm 0.14ab	452.8 \pm 53.4ab	359 \pm 29ab	16 \pm 2a
NK	11.79 \pm 2.46a	4.28 \pm 0.10a	527.9 \pm 77.2a	420 \pm 50a	16 \pm 3a
NPK	7.70 \pm 1.29a	3.97 \pm 0.15b	466.7 \pm 28.9ab	351 \pm 36b	15 \pm 1a

不同施肥处理土壤 *nirS* 型反硝化细菌种水平的分布比例(将相对丰度 $<1\%$ 的部分合并为 others)见图 2,丰富度最高的 4 个优势种为 *unclassified_k_norank_d_Bacteria*, *Uncultured_bacterium_2303*, *unclassified_p_Proteobacteria* 和 *Rhodanobacter_sp._D206a*。*unclassified_k_norank_d_Bacteria* 的相对丰度,CK,N 和 NK 差异不显著,但均显著高于 NPK 处理。*unclassified_p_Proteobacteria* 的相对丰度,CK,N 和 NK 差异不显著,其中 CK 和 N 显著高于 NPK。*uncultured_bacterium_2303* 的相对丰度 NPK 最高,显著高于 CK 和 N。*Rhodanobacter_sp._D206a* 的相对丰度,CK,N 和 NK 差异不显著,但均显著低于 NPK。CK 和 N 的 *nirS* 型反硝化细菌群落结构组成最接近,其次是 NK,而与 NPK 差别较大(图 2)。

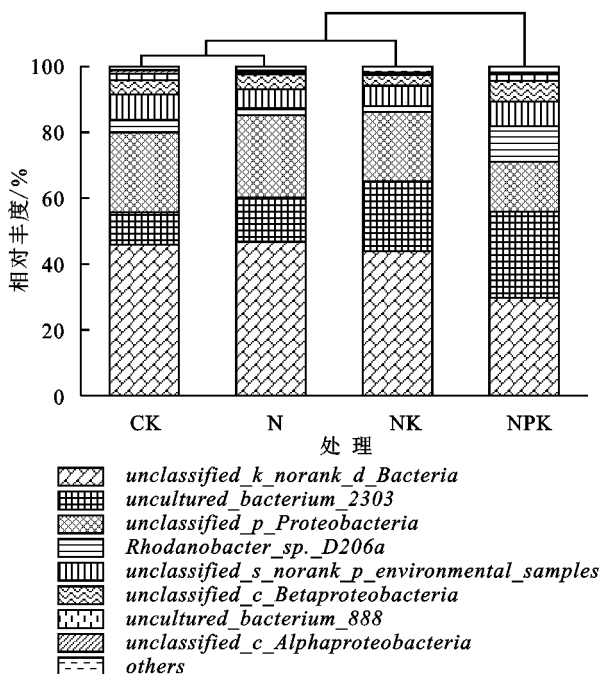


图 2 不同施肥处理土壤 *nirS* 型反硝化细菌种水平相对丰度和聚类分析结果

Shannon 指数与 CK 均无显著差异,但 NK 显著高于 NPK。相比 CK,NK 显著提高了 Chao1 指数,而其他处理间没有显著差异。NK 测得的 OUT 数量最高达 420 个,且显著高于 CK 和 NPK。所有处理土壤 *nirS* 型反硝化细菌物种数(species)无显著差异(表 2)。

2.3 N₂O 累积排放量、*nirS* 型反硝化细菌群落和土壤性质之间的关系

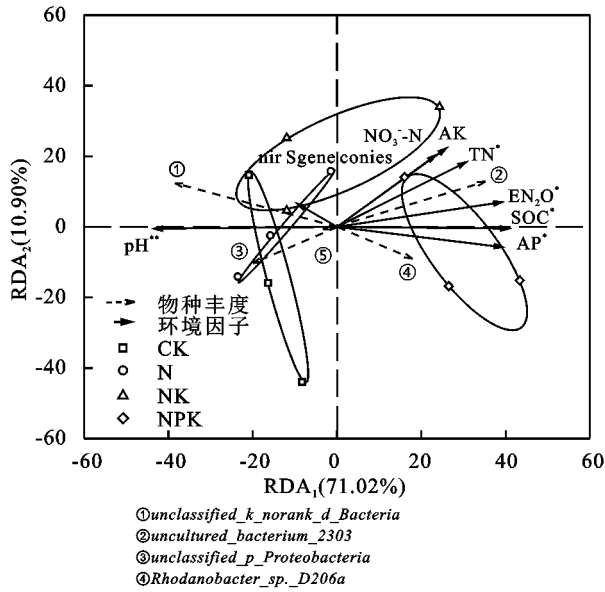
冗余分析(RDA)可反映环境因子与 *nirS* 型反硝化细菌群落结构组成之间的关联,RDA1 和 RDA2 共解释了 *nirS* 型反硝化细菌群落结构总变化的 81.92%(图 3),能够反映群落结构和土壤理化性质的绝大部分信息。土壤 *nirS* 型反硝化细菌群落结构组成与 EN₂O 显著相关,其中,EN₂O 与 *uncultured_bacterium_2303* 的相对丰度极显著正相关,与 *Rhodanobacter_sp._D206a* 的相对丰度显著正相关,与 *unclassified_p_Proteobacteria* 和 *unclassified_k_norank_d_Bacteria* 的相对丰度显著负相关(图 3)。RDA 分析表明,N₂O 累积排放量(EN₂O)与土壤 pH 极显著负相关,与土壤 SOC,TN,AP 和 NO₃⁻-N 含量极显著正相关,与 AK 显著正相关(图 3)。

SOC,AP 和 TN 含量对土壤 *nirS* 型反硝化细菌群落结构组成具有显著影响($p < 0.05$),而土壤 pH 具有极显著影响($p < 0.01$)。*uncultured_bacterium_2303* 和 *Rhodanobacter_sp._D206a* 的相对丰度与 SOC,AP 和 TN 含量极显著正相关,而 *unclassified_p_Proteobacteria* 和 *unclassified_k_norank_d_Bacteria* 呈显著负相关。*uncultured_bacterium_2303* 和 *uncultured_bacterium_888* 的相对丰度与土壤 pH 值极显著负相关,而 *unclassified_p_Proteobacteria* 和 *unclassified_k_norank_d_Bacteria* 呈极显著正相关(图 3)。

3 讨论

土壤 N₂O 主要来自土壤反硝化作用^[1,3],许多研究表明,土壤 N₂O 排放与反硝化微生物(*nirS* 型反硝化细菌群落)和反硝化底物(NO₃⁻-N)有关^[28-29]。作为反硝化作用的最直接底物,NO₃⁻-N 含量的高低会直接影响

N_2O 排放量^[30]。本研究结果,长期施用化肥均显著提高了壤土旱作雨养农田的 N_2O 排放量(图 1),其中平衡施用化肥(NPK)显著高于非平衡施肥(N 和 NK),这表明长期不同施肥确实会造成土壤 N_2O 排放的显著差异。从反硝化作用的底物 NO_3^- -N 含量来看,施肥处理均显著高于不施肥处理,但不同施肥处理间并没有显著差异(表 1),这表明长期不同施肥土壤 N_2O 排放差异并非是底物含量差异造成的,故这种土壤 N_2O 排放的差异应来源于土壤微生物的差异。



注:所有的排序轴由蒙特卡罗算法检验,*代表环境因子与群落结构在 0.05 水平上显著相关,**代表在 0.01 水平上极显著相关。

图 3 土壤理化性质、 N_2O 累积排放量和 *nirS* 细菌群落结构的冗余分析

许多研究表明, N_2O 排放量与 *nirS* 基因丰度(多度)呈正相关^[13,31]。本研究中,Pearson 相关分析表明, EN_2O 与 *nirS* 基因丰度之间的相关系数为 0.057,相关性不显著。这表明长期不同化肥施用下壤土 *nirS* 基因丰度对土壤 N_2O 排放并没有显著影响。*nirS* 基因丰度仅代表 *nirS* 型反硝化细菌的数量,而不能代表 *nirS* 基因的表达以及亚硝酸盐还原酶的活性,并且极易受外界环境的影响而发生变化。本研究中,长期施用化肥对壤土 *nirS* 型反硝化细菌丰度并没有显著影响(表 2),黑土、灌淤土和黑垆土上进行的长期施肥试验结果也同样表明,长期施氮磷钾化肥对土壤 *nirS* 基因丰度没有显著影响^[5,16,32]。可见,旱作雨养条件下,长期施肥后壤土 N_2O 累积排放量的变化并不能通过 *nirS* 型反硝化细菌丰度的变化来解释。

对比不施肥处理,长期施肥对土壤 *nirS* 型反硝化细菌 α -多样性无显著影响,但是长期施 NK 肥显著高于长期施 NPK 肥(表 2)。相较于 NK 处理,

处理的 *nirS* 型反硝化细菌的群落结构发生改变,部分优势种(*uncultured_bacterium_2303* 和 *Rhodanobacter_sp._D206a*)的相对丰度显著提高,未找到分类信息细菌(*unclassified_p_Proteobacteria* 和 *unclassified_k_norank_d_Bacteria*)的相对丰度显著降低,这可能导致了 *nirS* 细菌群落 α -多样性的降低(图 2 和表 2)。此外,NPK 处理的 OTUs 指数和物种数量(species)较 NK 少也说明了这一点(表 2)。长期施肥对土壤 *nirS* 型反硝化细菌 α -多样性的影响可能与施用磷肥有关。有研究表明,土壤磷含量较高会降低土壤微生物的 α -多样性^[33]。由于长期施用磷肥,NPK 的土壤有效磷含量达到了 26.6 mg/kg,显著高于不施肥处理和不施磷处理(表 1)。本研究中,通过 Pearson 相关分析表明, EN_2O 与反映 *nirS* 型反硝化细菌 α -多样性的 Shannon 指数、Chao1 指数、OTUs 指数和物种数之间的相关系数分别为 -0.299, 0.248, -0.004 和 -0.069,均没有显著相关性。这表明长期不同化肥施用下壤土 *nirS* 型反硝化细菌多样性对土壤 N_2O 排放也没有显著影响。因此,*nirS* 型反硝化细菌群落 α -多样性亦不是影响长期施肥后壤土 N_2O 累积排放量的关键因素。

越来越多的研究表明,对 N_2O 排放起关键作用的是 *nirS* 型反硝化细菌中的某些优势菌,比如 *Rhodanobacter*, *Azospirillum*, *Bradyrhizobium* 和 *Paracoccus* 等^[3,34]。雨养旱作条件下,壤土 *nirS* 型反硝化细菌的主要优势种为 *uncultured_bacterium_2303*, *Rhodanobacter_sp._D206a*, *unclassified_p_Proteobacteria* 和 *unclassified_k_norank_d_Bacteria*(图 2)。长期不同化肥施用导致壤土的 *nirS* 型反硝化细菌群落结构组成产生了显著差异,其中长期平衡施用化肥提高了 *uncultured_bacterium_2303* 和 *Rhodanobacter_sp._D206a* 的相对丰度,降低了 *unclassified_p_Proteobacteria* 和 *unclassified_k_norank_d_Bacteria* 的相对丰度;而长期非平衡施肥(N 和 NK)对 *unclassified_p_Proteobacteria*, *unclassified_k_norank_d_Bacteria* 和 *Rhodanobacter_sp._D206a* 的相对丰度没有显著影响(图 2)。冗余分析进一步表明,*nirS* 型反硝化细菌群落结构组成对 N_2O 排放的影响与关键优势种的相对丰度有关。 EN_2O 与 *uncultured_bacterium_2303* 和 *Rhodanobacter_sp._D206a* 相对丰度显著正相关,而与 *unclassified_p_Proteobacteria* 和 *unclassified_k_norank_d_Bacteria* 的相对丰度显著负相关(图 3)。

因此,雨养旱作条件下,长期施肥改变了**壤土** *nirS* 型反硝化细菌的群落结构组成,从而影响了 N_2O 排放。

土壤 SOC 能够通过矿化作用间接为反硝化细菌提供电子供体,从而可以促进反硝化作用;土壤 pH 值会影响 *nirS* 型反硝化细菌的生长环境,而 AP 提高可以为 *nirS* 型细菌生长代谢提供所需要的磷素营养^[35]。许多研究表明,长期不同施肥方式导致 *nirS* 型细菌群落结构组成发生改变的主要原因是长期施肥导致的 SOC, TN, 全磷和 pH 值等土壤因子的改变^[36-37]。本研究中,长期非平衡施肥与不施肥处理土壤性质较接近,而长期平衡施用化肥显著提高了 SOC, TN 和 AP, 并降低了土壤 pH 值(表 1)。相较于其他处理,长期平衡施用 NPK 化肥后土壤 *nirS* 型细菌优势种中的 *uncultured_bacterium_2303* 和 *Rhodanobacter_sp._D206a* 的相对丰度显著增加,而 *unclassified_k_norank_d_Bacteria* 和 *unclassified_p_Proteobacteria* 的相对丰度显著下降(图 2)。冗余分析也表明, SOC, AP, TN 和 pH 值等土壤性质是影响 *nirS* 型细菌群落结构组成的主要环境因素(图 3)。

4 结论

雨养旱作条件下,长期施用化肥能够显著提高**壤土** N_2O 排放量。长期化肥施用对 *nirS* 基因丰度和 *nirS* 型反硝化细菌的 α -多样性均没有显著影响。长期平衡施用化肥提高了 *nirS* 型反硝化细菌优势种 *uncultured_bacterium_2303* 和 *Rhodanobacter_sp._D206a* 的相对丰度并降低了 *unclassified_p_Proteobacteria* 和 *unclassified_k_norank_d_Bacteria* 的相对丰度,改变了 *nirS* 型反硝化细菌群落结构组成。旱作雨养条件下,长期施用化肥通过改变**壤土** SOC, TN, AP 含量和土壤 pH 等土壤性质而影响了 *nirS* 型反硝化细菌群落结构组成。*nirS* 型反硝化细菌群落结构组成变化,而不是 *nirS* 基因丰度和 *nirS* 型反硝化细菌多样性的变化导致不同施肥土壤 N_2O 排放产生差异。

参考文献:

- [1] Butterbach-Bahl K, Baggs E M, Dannenmann M, et al. Nitrous oxide emissions from soils: how well do we understand the processes and their controls [J]. *Philosophical Transactions of the Royal Society B: Biological Sciences*, 2013, 368(1621). DOI: 10.1098/rstb.2013.0122.
- [2] Syakila A, Kroeze C. The global nitrous oxide budget revisited[J]. *Greenhouse Gas Measurement and Management*, 2011, 1(1): 17-26.
- [3] Shi Y L, Liu X R, Zhang Q W. Effects of combined biochar and organic fertilizer on nitrous oxide fluxes and the related nitrifier and denitrifier communities in a saline-alkali soil[J]. *Science of the Total Environment*, 2019, 686: 199-211.
- [4] Zhou S, Huang T, Zhang C, et al. Illumina MiSeq sequencing reveals the community composition of *NirS*-Type and *NirK*-Type denitrifiers in Zhoucun reservoir: A large shallow eutrophic reservoir in northern China[J]. *Rsc. Advances*, 2016, 6(94): 91517-91528.
- [5] Tao R, Wakelin S A, Liang Y, et al. Nitrous oxide emission and denitrifier communities in drip-irrigated calcareous soil as affected by chemical and organic fertilizers[J]. *Science of the Total Environment*, 2018, 612: 739-749.
- [6] Heylen K, Gevers D, Vanparrys B, et al. The incidence of *nirS* and *nirK* and their genetic heterogeneity in cultivated denitrifiers [J]. *Environmental Microbiology*, 2006, 8(11): 2012-2021.
- [7] Dandie C E, Sophie W, Leclair C L, et al. Abundance, diversity and functional gene expression of denitrifier communities in adjacent riparian and agricultural zones [J]. *FEMS Microbiol Ecol.*, 2011, 77(1): 69-82.
- [8] Palmer K, Biasi C, Horn M A. Contrasting denitrifier communities relate to contrasting N_2O emission patterns from acidic peat soils in arctic tundra [J]. *The Isme Journal*, 2012, 6(5): 1058-1077.
- [9] Braker G, Conrad R. Diversity, structure, and size of N_2O -producing microbial communities in soils: what matters for their functioning[J]. *Adv. Appl. Microbiol.*, 2011, 75: 33-70.
- [10] Liu X, Chen C R, Wang W J, et al. Soil environmental factors rather than denitrification gene abundance control N_2O fluxes in a wet sclerophyll forest with different burning frequency[J]. *Soil Biology and Biochemistry*, 2013, 57: 292-300.
- [11] Barrett M, Khalil M I, Jahangir M M R, et al. Carbon amendment and soil depth affect the distribution and abundance of denitrifiers in agricultural soils[J]. *Environmental Science and Pollution Research*, 2016, 23(8): 7899-7910.
- [12] 程效义, 刘晓琳, 孟军, 等. 生物炭对棕壤 NH_3 挥发、 N_2O 排放及氮肥利用效率的影响[J]. *农业环境科学学报*, 2016, 35(4): 801-807.
- [13] Huang R, Wang Y, Gao X, et al. Nitrous oxide emission and the related denitrifier community: A short-term response to organic manure substituting chemical fertilizer[J]. *Ecotoxicology and Environmental Safety*,

- 2020,192.DOI:10.1016/j.ecoenv.2020.110291.
- [14] Wang Q, Liu Y R, Zhang C, et al. Responses of soil nitrous oxide production and abundances and composition of associated microbial communities to nitrogen and water amendment [J]. *Biology and Fertility of Soils*, 2017, 53(6):601-611.
- [15] Hu X, Liu J, Wei D, et al. Chronic effects of different fertilization regimes on *nirS*-type denitrifier communities across the black soil region of Northeast China [J]. *Pedosphere*, 2020, 30(1):73-86.
- [16] Sun R, Guo X, Wang D, et al. Effects of long-term application of chemical and organic fertilizers on the abundance of microbial communities involved in the nitrogen cycle [J]. *Applied Soil Ecology*, 2015, 95:171-178.
- [17] Yang X Y, Li P R, Zhang S L, et al. Long-term-fertilization effects on soil organic carbon, physical properties, and wheat yield of a loess soil [J]. *Journal of Plant Nutrition and Soil Science*, 2011, 174(5):775-784.
- [18] 吴娟, 齐雁冰, 常庆瑞, 等. 关中地区**壤土**系统分类归属及代表土系建立 [J]. *土壤学报*, 2021, 58(2):357-371.
- [19] 肖杰, 刘平静, 孙本华, 等. 长期施用化肥对旱作雨养农田 N_2O 排放特征的影响 [J]. *西北农林科技大学学报: 自然科学版*, 2020, 48(5):108-114, 122.
- [20] 郭慧楠, 马丽娟, 黄志杰, 等. 咸水滴灌对棉田土壤 N_2O 排放和反硝化细菌群落结构的影响 [J]. *环境科学*, 2020, 41(5):2455-2467.
- [21] 郭芸, 孙本华, 王颖, 等. 长期施用不同肥料土 PLFA 指纹特征 [J]. *中国农业科学*, 2017, 50(1):94-103.
- [22] 鲍士旦. *土壤农化分析* [M]. 3 版. 北京: 中国农业出版社, 2000.
- [23] 刘平静, 肖杰, 孙本华, 等. 长期不同施肥措施下**壤土**菌群落结构变化及其主要影响因素 [J]. *植物营养与肥料学报*, 2020, 26(2):307-315.
- [24] Michotey V, Méjean V, Bonin P. Comparison of methods for quantification of cytochrome *cd1*-denitrifying bacteria in environmental marine samples [J]. *Applied and Environmental Microbiology*, 2000, 66(4):1564-1571.
- [25] Throbäck I N, Enwall K, Jarvis Å, et al. Reassessing PCR primers targeting *nirS*, *nirK* and *nosZ* genes for community surveys of denitrifying bacteria with DGGE [J]. *FEMS Microbiol Ecol*, 2004, 49(3):401-417.
- [26] Huse S M, Huber J A, Morrison H G, et al. Accuracy and quality of massively parallel DNA pyrosequencing [J]. *Genome Biology*, 2007, 8(7):1-9.
- [27] Quast C, Pruesse E, Yilmaz P, et al. The SILVA ribosomal RNA gene database project: Improved data processing and web-based tools [J]. *Nucleic Acids Research*, 2012, 41:590-596.
- [28] Fracetto F J C, Fracetto G G M, Bertini S C B, et al. Effect of agricultural management on N_2O emissions in the Brazilian sugarcane yield [J]. *Soil Biology and Biochemistry*, 2017, 109:205-213.
- [29] Morales S E, Jha N, Saggari S. Biogeography and biophysicochemical traits link N_2O emissions, N_2O emission potential and microbial communities across New Zealand pasture soils [J]. *Soil Biology and Biochemistry*, 2015, 82:87-98.
- [30] Francis C, O'Mullan G, Cornwell J, et al. Transitions in *nirS*-type denitrifier diversity, community composition, and biogeochemical activity along the Chesapeake Bay estuary [J]. *Frontiers in Microbiology*, 2013, 4. DOI:10.3389/fmicb.2013.00237.
- [31] Bian R X, Sun Y J, Li W H, et al. Co-composting of municipal solid waste mixed with matured sewage sludge: The relationship between N_2O emissions and denitrifying gene abundance [J]. *Chemosphere*, 2017, 189:581-589.
- [32] Cui P Y, Fan F L, Yin C, et al. Long-term organic and inorganic fertilization alters temperature sensitivity of potential N_2O emissions and associated microbes [J]. *Soil Biology and Biochemistry*, 2016, 93:131-141.
- [33] Liu C X, Zhao X R, Lin Q M, et al. Decrease in diversity and shift in composition of the soil bacterial community were closely related to high available phosphorus in agricultural Fluvisols of North China [J]. *Acta Agriculturae Scandinavica Section B: Soil and Plant Science*, 2019, 69(7):618-630.
- [34] Fang S, Nan H, Lv D Q, et al. Effects of sulfoxaflor on greenhouse vegetable soil N_2O emissions and its microbial driving mechanism [J]. *Chemosphere*, 2021, 267. DOI:10.1016/j.chemosphere.2020.129248.
- [35] 曹文超, 宋贺, 王娅静, 等. 农田土壤 N_2O 排放的关键过程及影响因素 [J]. *植物营养与肥料学报*, 2019, 25(10):1781-1798.
- [36] 胡晓婧, 刘俊杰, 于镇华, 等. 东北黑土 *nirS* 型反硝化细菌群落和网络结构对长期施用化肥的响应 [J]. *植物营养与肥料学报*, 2020, 26(1):1-9.
- [37] Yin C, Fan F, Song A, et al. Denitrification potential under different fertilization regimes is closely coupled with changes in the denitrifying community in a black soil [J]. *Applied Microbiology and Biotechnology*, 2015, 99(13):5719-5729.